

УДК 66.021.3:66.011

МАТЕМАТИЧЕСКАЯ МОДЕЛЬ МАССОПЕРЕНОСА В ОБРАТНООСМОТИЧЕСКОМ АППАРАТЕ ТРУБЧАТОГО ТИПА

© В.Л. Головашин, С.И. Лазарев, В.В. Мамонтов

Ключевые слова: математическая модель, аппараты трубчатого типа.

Предложена математическая модель, описывающая нестационарный массоперенос в обратноосмотическом аппарате трубчатого типа. Адекватность математической модели проверена с использованием обратноосмотической мембраны ESPA для минерализованной технической воды на лабораторной установке с модулем трубчатого типа. Получены расчетные формулы для определения средней производительности и среднего давления в трубчатом баромембранном аппарате. Выявлены основные закономерности нестационарного процесса обратноосмотического разделения.

ВВЕДЕНИЕ

Для описания и объяснения явления массопереноса при обратном осмосе, а также для построения математических моделей и расчета данного процесса используются различные подходы и уравнения переноса растворенного вещества и растворителя через мембрану для жидкой и мембранной фазы [1–4].

При проектировании баромембранных процессов необходимо знать основные параметры для простейшей схемы обратноосмотического разделения (рис. 1).

Основными параметрами для каждой схемы являются: K – коэффициент удержания; V, c – объем, м^3 , и концентрация, $\text{кг}/\text{м}^3$, в емкости исходной жидкости; G_f, G_k, G_p – расход исходной жидкости, концентрата и пермеата, $\text{кг}/\text{с}$; c_f, c_k, c_p – концентрация растворенных веществ в исходной жидкости, концентрате и пермеате, $\text{кг}/\text{м}^3$.

Зная параметры для простейшей схемы обратноосмотического разделения и производительность по одному из потоков (в зависимости от цели процесса – разделение или концентрирование), можно рассчитать время разделения, необходимую площадь мембран для

каждой стадии процесса и тем самым определить конструктивные параметры обратноосмотической установки.

ОСНОВНАЯ ЧАСТЬ

Рассмотрим задачу массопереноса через мембрану при движении жидкости в кольцевидном канале, образованном цилиндрическим корпусом и трубкой (мембраной).

Основные допущения.

1. Насос обеспечивает постоянство подачи.
2. В промежуточной емкости режим идеального перемешивания.
3. Изменением плотности жидкости пренебрегаем.
4. Режим течения жидкости ламинарный $Re < 2300$.
5. Свойства мембраны учитываются коэффициентом удержания и удельной производительностью.

Математическая запись задачи:

Начальные условия:

$$V(0) = V_0 \quad (1)$$

$$c_f(0) = c_{f0} \quad (2)$$

Материальный баланс по растворителю в промежуточной емкости:

$$dV = -G_f \cdot d\tau + G_k \cdot d\tau \quad (3)$$

$$\frac{dV}{d\tau} = -G_f + G_k \quad (4)$$

Материальный баланс по растворенному веществу в промежуточной емкости:

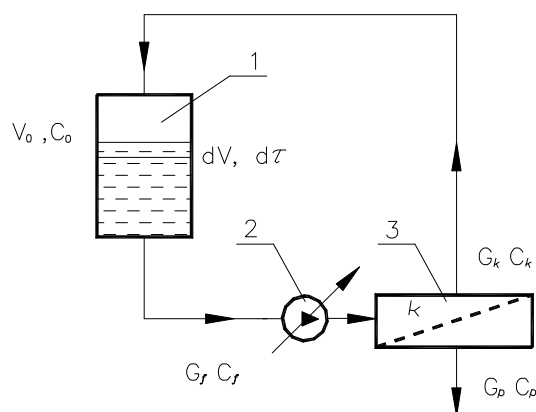


Рис. 1. Схема обратноосмотического разделения. 1 – исходная емкость; 2 – насос; 3 – трубчатый мембранный модуль

$$d(V \cdot c_f) = -G_f \cdot c_f \cdot d\tau + G_k \cdot c_k \cdot d\tau \quad (5)$$

Материальный баланс мембранного модуля по растворителю:

$$G_f = G_k + G_p \quad (6)$$

Материальный баланс мембранного модуля по растворенному веществу:

$$c_f \cdot dV + V \cdot dc_f = -G_f \cdot c_f \cdot d\tau + G_k \cdot c_k \cdot d\tau \quad (7)$$

Продифференцируем (5)

$$c_f \cdot dV + V \cdot dc_f = -G_f \cdot c_f \cdot d\tau + G_k \cdot c_k \cdot d\tau \quad (8)$$

Подставим в (8) выражение из (7)

$$c_f \cdot dV + V \cdot dc_f = -G_f \cdot c_f \cdot d\tau + (G_f \cdot c_f - G_p \cdot c_p) \cdot d\tau \quad (9)$$

Преобразуем (4) с использованием (6)

$$\frac{dV}{d\tau} = -G_p \quad (10)$$

$$dV = -G_p \cdot d\tau \quad (11)$$

Подставим (11) в (9)

$$-c_f \cdot G_p \cdot d\tau + V \cdot dc_f = -G_f \cdot c_f \cdot d\tau + (G_f \cdot c_f - G_p \cdot c_p) \cdot d\tau \quad (12)$$

После несложных преобразований получим

$$V \cdot dc_f = c_f \cdot G_p \cdot d\tau - G_p \cdot c_p \cdot d\tau \quad (13)$$

$$V \cdot dc_f = c_f \cdot G_p \cdot d\tau - G_p \cdot c_f \cdot (1 - K) \cdot d\tau \quad (14)$$

$$\frac{dc_f}{d\tau} = \frac{c_f \cdot G_p \cdot K}{V} \quad (15)$$

Подставим в (15) и (10) выражение, определяющее удельную производительность модуля

$$\frac{dV}{d\tau} = -k \cdot (\Delta P - \Delta \pi) \cdot F_m \quad (16)$$

$$\frac{dc_f}{d\tau} = \frac{c_f \cdot k \cdot (\Delta P - \Delta \pi) \cdot F_m \cdot K}{V} \quad (17)$$

где τ – время разделения раствора, с; $\Delta \pi$ – осмотическое давление раствора, Па; F_m – площадь трубчатой мембраны, м².

Систему уравнений (16)–(17) интегрируем с учетом начальных условий (1) и (2).

Поскольку в аппарате насос обеспечивает постоянство подачи, а исследованные концентрации незначительно влияют на плотность разделяемого раствора, в каждый момент времени интегрирования можно сде-

лать допущение о квазистационарности гидродинамических процессов в модуле.

Гидродинамика в мембранных каналах различных типов описывается уравнениями Навье-Стокса и неразрывности [1, 2]. Уравнения гидродинамики можно решить при некоторых допущениях [3]. Для нахождения поля скоростей в канале (в двухмерном случае) необходимо решать систему уравнений Навье-Стокса и неразрывности, которая для ламинарного режима принимает вид:

$$\frac{\partial U}{\partial x} + \frac{\partial V}{\partial y} = 0 \quad (18)$$

$$\frac{1}{\rho} \cdot \frac{\partial P}{\partial x} = \nu \cdot \left(\frac{\partial^2 U(x, y)}{\partial y^2} \right) \quad (19)$$

Проинтегрируем уравнение (19) с учетом условий прилипания на стенках канала:

$$U(x, R_1) = U(x, R_2) = 0 \quad (20)$$

$$0 < x < L; \quad (21)$$

$$R_1 < y < R_2. \quad (22)$$

Для ламинарного стационарного потока получено следующее решение уравнений гидродинамики:

$$U(x, y) = \frac{1}{2 \cdot \mu} \cdot (y^2 - y \cdot R_1 - y \cdot R_2 + R_1 \cdot R_2) \cdot \frac{dP(x)}{dx} \quad (23)$$

где $P(x)$ – распределение давления по длине канала, Па; μ – вязкость раствора, Па·с; $R_{1,2}$ – радиусы трубчатой мембраны и корпуса, м.

Определим неизвестную величину $P(x)$.

Запишем уравнение расхода через канал.

$$Q(x, y) = \int_{R_1}^{R_2} \frac{1}{2 \cdot \mu} \cdot (y^2 - y \cdot R_1 - y \cdot R_2 + R_1 \cdot R_2) \cdot \frac{dP(x)}{dx} \cdot dy \quad (24)$$

После интегрирования имеем

$$Q(x) = \frac{1}{12} \cdot \frac{dP(x)}{\mu} \cdot (R_1^3 - R_2^3 - 3 \cdot R_1 \cdot R_2^2 - 3 \cdot R_2 \cdot R_1^2) \quad (25)$$

Для нахождения давления продифференцируем уравнение расхода по x

$$dQ(x) = \frac{1}{12} \cdot \frac{d^2 P(x)}{\mu} \cdot (R_1^3 - R_2^3 - 3 \cdot R_1 \cdot R_2^2 - 3 \cdot R_2 \cdot R_1^2) \cdot dx \quad (26)$$

С другой стороны, изменение расхода в канале записывается выражением

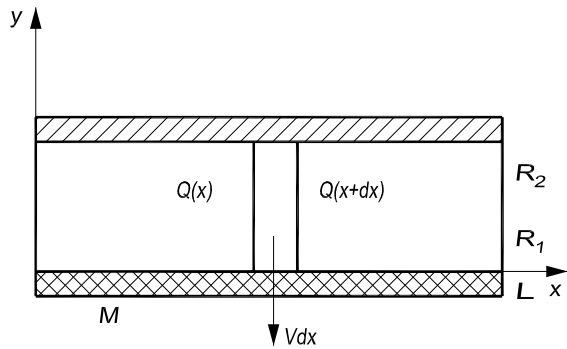


Рис. 2. Схема изменения расхода в канале

$$dQ(x) = Q(x + dx) - Q(x) = V(x) \cdot dx = k \cdot P(x) \cdot dx \quad (27)$$

На рис. 2 показана схема изменения расхода в канале, образованном цилиндрическим корпусом и мембраной.

Приравняем правые части уравнений (26)–(27) и проинтегрируем с учетом граничных условий:

$$P(0) = P_n; \quad (28)$$

$$P(L) = P_k. \quad (29)$$

Получено следующее выражение для распределения давления по длине канала:

$$P(x) = \frac{P_n \cdot \cosh(A \cdot x) \cdot \sinh(A \cdot L) - P_k \cdot \cosh(A \cdot L) \cdot \sinh(A \cdot x) + P_i \cdot \sinh(A \cdot x)}{\sinh(A \cdot L)} \quad (30)$$

где P_n, k – давление в начале и конце канала;

$$A = \frac{2\sqrt{-3 \cdot k \cdot \mu \cdot (R_1 - R_2)^3}}{(R_1 - R_2)^3} \quad (31)$$

где k – водопроницаемость мембраны, $\text{м}^3/\text{м}^2 \cdot \text{с} \cdot \text{Па}$.

Среднюю производительность на границе канала можно записать как:

$$G_{psr} = k \cdot P_{sr} \quad (32)$$

Среднее давление по длине канала:

$$P_{sr} = \frac{1}{L} \cdot \int_0^L P(x) \cdot dx \quad (33)$$

Данные выражения подставляем в уравнения (16) и (17), пренебрегая перепадом осмотического давления, ввиду малых концентраций исследованных веществ, и заменяя перепад давления через мембрану средним значением давления в канале. Средний коэффициент удержания определяем по формуле:

$$K = 1 - \frac{1}{1 + (\gamma - 1) \left[1 - \exp\left(-\frac{G_{psr} \cdot h \cdot \gamma}{D_0}\right) \right] \cdot \exp\left(-\frac{G_{psr} \cdot \delta}{D_0}\right)} \quad (34)$$

где γ – равновесный коэффициент распределения; h – толщина активного слоя мембраны, м; D_0 – коэффициент диффузии в растворе, $\text{м}^2/\text{с}$; δ – толщина пограничного диффузионного слоя, м.

Для проверки адекватности математической модели были проведены эксперименты по разделению многокомпонентных растворов минерализованной технической воды на лабораторной обратноосмотической установке с мембранным модулем трубчатого типа, представленным на рис. 3. Эксперименты проводились при постоянном давлении (4 МПа) и температуре (293 К), с использованием обратноосмотической мембраны ESPA.

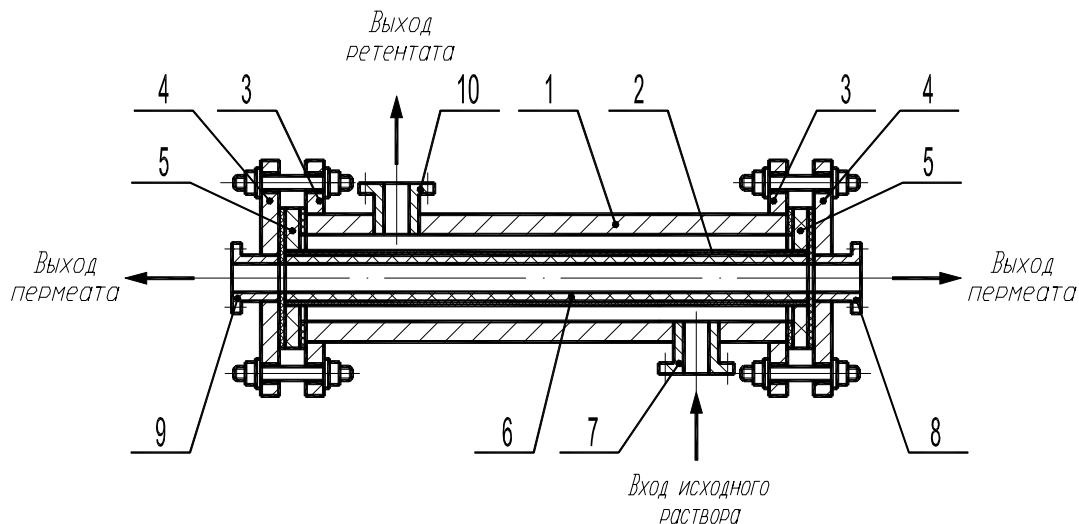


Рис. 3. Схема мембранного модуля трубчатого типа. 1 – цилиндрический корпус; 2 – мембрана; 3, 4 – фланцы; 5 – трубные решетки; 6 – пористая трубка; 7, 8, 9, 10 – штуцера

ЗАКЛЮЧЕНИЕ

Проверка адекватности математической модели заключалась в сравнении расчетных и экспериментальных значений технологических параметров процесса обратного осмотического разделения: 1. концентрации и объема раствора в исходной емкости; 2. коэффициента удержания и производительности по пермеату, для исследованных систем раствор-мембрана, в зависимости от времени ведения процесса.

Основные результаты экспериментов и расчета изображены на рис. 4–7. Из графиков видно, что расхождение между экспериментальными и расчетными данными не превышает $\pm 15\%$, что свидетельствует о приемлемости разработанной математической модели реальным массообменным процессам в обратноосмотических аппаратах трубчатого типа. Полученные результаты можно использовать при проектировании и расчете обратноосмотических установок и технологических схем баромембранного разделения.

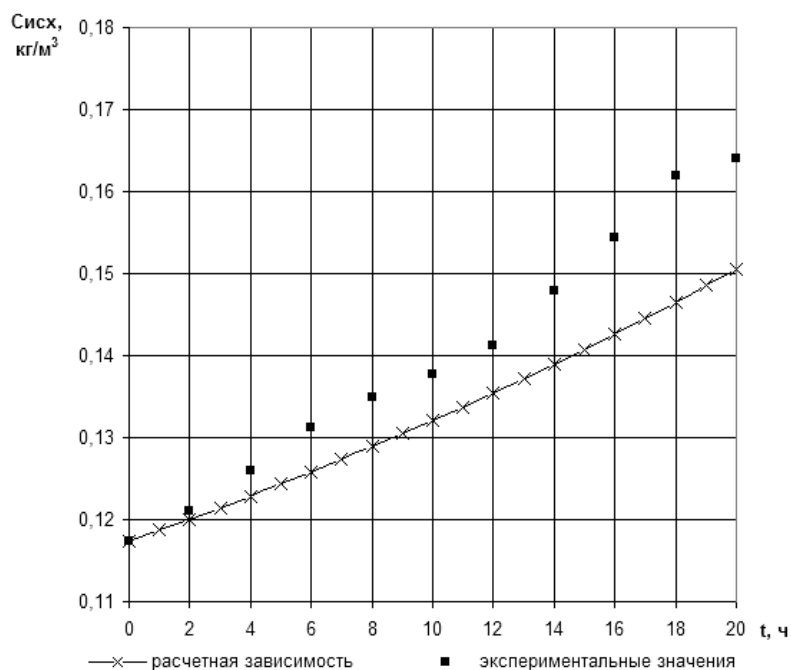


Рис. 4. Зависимость концентрации раствора в исходной емкости от времени концентрирования

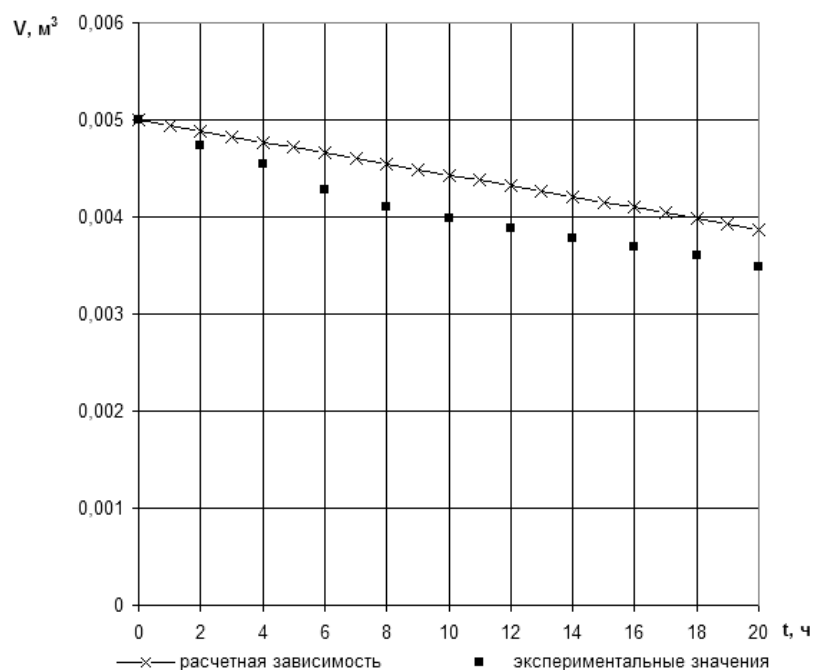


Рис. 5. Зависимость объема раствора в исходной емкости от времени концентрирования

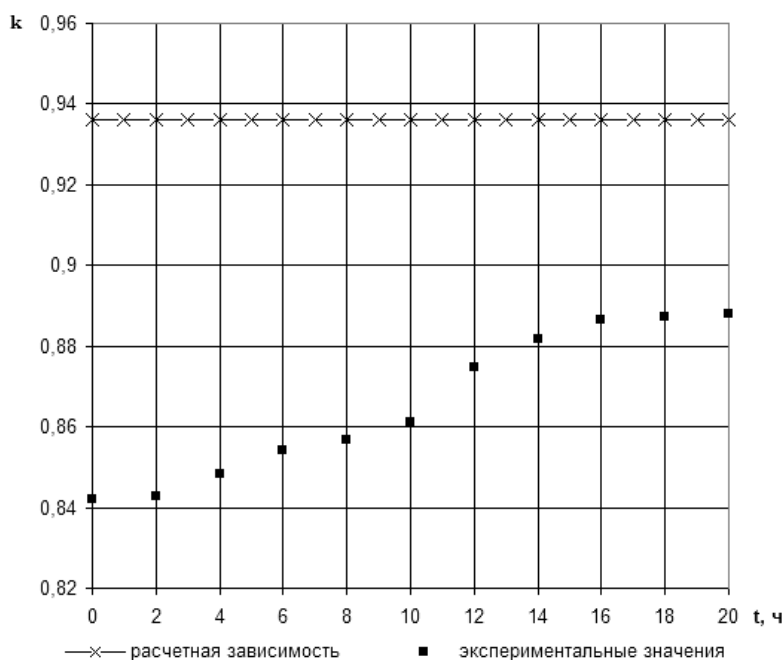


Рис. 6. Зависимость коэффициента удержания от времени концентрирования

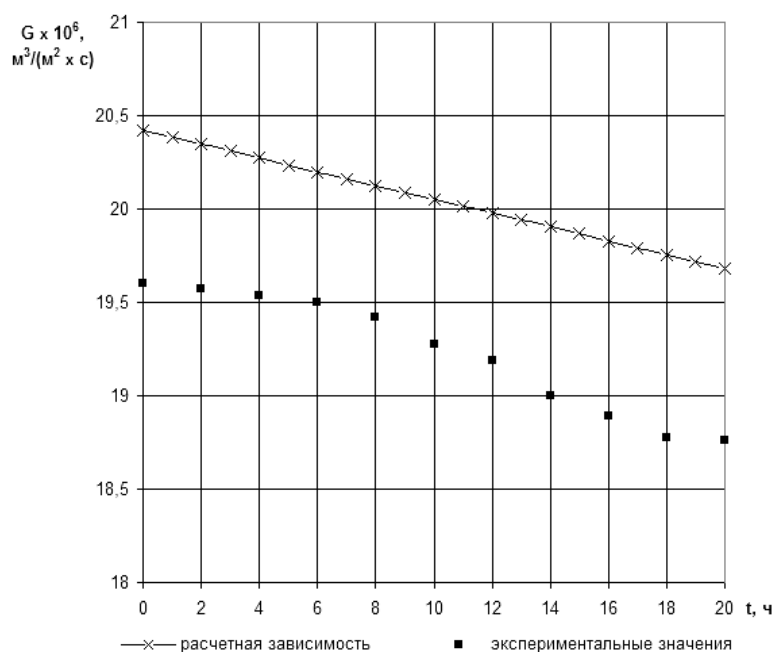


Рис. 7. Зависимость удельной производительности по пермеату от времени концентрирования

ЛИТЕРАТУРА

1. Дытнерский Ю.И. Баромембранные процессы. Теория и расчет. М.: Химия, 1986.
2. Математическое моделирование конвективного теплообмена на основе уравнений Навье-Стокса / В.И. Полежаев, А.В. Бунз, Н.А. Везуб и др. М.: Наука, 1997.
3. Химическая гидродинамика. Справочное пособие / Кутепов А.М., Полянин А.Д., Запрынов З.Д. и др. М.: Квантум, 1996.
4. Чураев Н.В. Физикохимия процессов массопереноса в капиллярно-пористых телах. М.: Химия, 1990.

Golovashin V.L., Lazarev S.I., Mamontov B.B. Mathematical model of mass transfer in reverse osmosis device of tubular type. The mathematical model describing non-stationary mass transfer in a reverse osmosis device of tubular type is offered. Adequacy of the mathematical model is checked using a reverse osmosis membrane ESPA for mineral technical water on laboratory installation with a module of tubular type. Calculation formulas for definition of an average productivity and average pressure in a tubular reverse osmosis device are obtained. The basic laws of non-stationary process of reverse osmosis divisions are revealed.

Key words: mathematical model, device of tubular type.

Поступила в редакцию 6 сентября 2008 г.

LITERATURE

1. *Dymersky Y.I.* Baromembrane processes. Theory and calculation. M.: Khimiya, 1986.
2. Mathematical modelling of convective heat and mass exchange on the basis of Navier-Stokes' equations / V.I. Polezhaev, A.V. Bune, N.A. Verezub, etc. M.: Nauka, 1997.
3. Chemical hydrodynamics. Handbook / Kutevov A.M., Polyanin A.D., Zapryanov Z.D., etc. M.: Kvantum, 1996.
4. *Churaev N.V.* Physics and chemistry of processes of mass transfer in capillary-porous bodies. M.: Khimiya, 1990.